ОБЗОРНАЯ СТАТЬЯ

УДК 547.891.1

ПРЕВРАЩЕНИЯ 7-ЧЛЕННЫХ ТЕРПЕНОВЫХ ЛАКТОНОВ В НАПРАВЛЕНИИ НИЗКОМОЛЕКУЛЯРНЫХ БИОРЕГУЛЯТОРОВ

© 2023 г. В. А. Выдрина, М. П. Яковлева*, Г. Ю. Ишмуратов

Уфимский Институт химии — обособленное структурное подразделение ФГБНУ «Уфимского федерального исследовательского центра РАН», Россия, 450054 Уфа, просп. Октября, 71

*e-mail: insect@anrb.ru

Поступила в редакцию 25.07.2022 г. После доработки 11.08.2022 г. Принята к публикации 12.08.2022 г.

Описано низкотемпературное восстановление (—)-ментолактона диизобутилалюминийгидридом в хлористом метилене, которое в зависимости от условий протекает с получением 3 продуктов: 7S-изопропил-4R-метилоксепан-2S-ола ((—)-ментолактола), 8-гидрокси-2, 6R-диметилоктан-3-она, 2S-изобутокси-7S-изопропил-4R-метилоксепана. Для каждого продукта приведены вероятные пути и подобраны условия селективного образования. Рассмотрен метод синтеза изобутиловых ацеталей 2-оксепанолов при низкотемпературном (— 70° C) восстановлении 7-членных лактонов диизобутилалюминийгидридом в хлористом метилене. Обсужден синтез ряда низкомолекулярных биорегуляторов, в том числе оптически активных феромонов насекомых-вредителей сельского и лесного хозяйства на основе (—)-ментолактола, его алюмината и 8-гидрокси-2, 6R-диметилоктан-3-она

Ключевые слова: терпеновые семичленные лактоны, низкотемпературное гидридное восстановление, низкомолекулярные биорегуляторы, синтез

DOI: 10.31857/S0514749223050010, **EDN:** FAFPMS

СОДЕРЖАНИЕ

ВВЕДЕНИЕ

- 1. СИНТЕЗ ОПТИЧЕСКИ ЧИСТОГО ЗR-МЕТИЛЦИКЛОПЕНТАН-1-ОНА И ЕГО СЛОЖНОЭФИРНЫХ ПРОИЗВОДНЫХ
- 2. СИНТЕЗ (4R)-МЕТИЛНОНАН-1-ОЛА ОПТИЧЕСКИ ЧИСТОГО ПОЛОВОГО ФЕРОМОНА БОЛЬШОГО МУЧНОГО ХРУЩАКА
- 3. НИЗКОТЕМПЕРАТУРНОЕ ВОССТАНОВЛЕНИЕ 2-ОКСЕПАНОНОВ ДИИЗОБУТИЛАЛЮМИНИЙГИДРИ-ДОМ В ХЛОРИСТОМ МЕТИЛЕНЕ
 - 3.1. СИНТЕЗ 2-ОКСЕПАНОЛОВ И ИХ ПРОИЗВОДНЫХ
 - 3.2. ПРИМЕНЕНИЕ 2-ОКСЕПАНОЛОВ В СИНТЕЗЕ ОПТИЧЕСКИ АКТИВНЫХ ФЕРОМОНОВ НАСЕКОМЫХ
 - 3.3. СИНТЕЗ 8-ГИДРОКСИ-2,6R-ДИМЕТИЛОКТАН-3-ОНА
 - 3.4. ПРИМЕНЕНИЕ 8-ГИДРОКСИ-2,6R-ДИМЕТИЛОКТАН-3-ОНА В СИНТЕЗЕ ОПТИЧЕСКИ АКТИВНЫХ ФЕРОМОНОВ НАСЕКОМЫХ

- 3.5. НИЗКОТЕМПЕРАТУРНОЕ (-70° C) ВОССТАНОВЛЕНИЕ 7-ЧЛЕННЫХ ЛАКТОНОВ ДИИЗОБУТИЛ-АЛЮМИНИЙГИДРИДОМ В ХЛОРИСТОМ МЕТИЛЕНЕ
- 3.6. УСЛОВИЯ СИНТЕЗА ИЗОБУТИЛОВЫХ АЦЕТАЛЕЙ ЗАКЛЮЧЕНИЕ

СПИСОК ЛИТЕРАТУРЫ

ВВЕДЕНИЕ

Несмотря на широкое распространение 7-членных лактонов в природных объектах, в органическом синтезе применение их достаточно ограничено. В первую очередь это связано с тем, что природные объекты в большинстве случаев являются эндемиками, во-вторых, содержание 7-членных лактонов в природных объектах невелико и, наконец, процесс выделения лактонов из природного сырья является сложным и многостадийным.

Высокий синтетический потенциал 7-членных лактонов, особенно терпеновых, обусловлен наличием в их составе циклических сложноэфирных групп и оптически активных центров известной конфигурации. Возможность легкого раскрытия лактонового цикла и вовлечение полученных соединений в реакции как восстановления, так и окисления делает их перспективными исходными соединениями в синтезе многих биологически активных соединений и стимулирует развитие методов их получения. Лактонизация соответствующих гидроксикислот – известный метод синтеза 2-оксепанонов [1, 2]. Однако наиболее удобной и часто применяемой реакцией при получении 7-членных лактонов является окисление по Байеру-Виллигеру соответствующих циклогексанонов. Для его осуществления обычно применяют мононадсерную, мононадфталевую, мета-хлорнадбензойную (МХНБК), надуксусную, перфторнадбензойную и другие органические надкислоты [3]. Причем их использование не всегда приводит к удовлетворительным результатам (низкие конверсия и выход продуктов), к тому же большинство реагентов — дорогостоящие или малодоступные, для получения некоторых из них требуются специальные установки и оборудование.

Известны лишь некоторые примеры реакций с участием 7-членных лактонов [4]: полимеризация, α-алкилирование, образование енолэфиров, раскрытие цикла под действием аминов, реагентов Гриньяра, карбенов, производных ацетилена и восстановление алюмогидридом лития. Особый интерес представляют превращения моно-, ди- и тритерпеновых 7-членных лактонов, имеющих в своем составе асимметрические центры и способных служить хиральными матрицами для синтеза новых оптически активных соединений как с известной, так и с потенциальной биологической активностью.

Для получения энантиомерно чистых феромонов насекомых и других биологически активных веществ чрезвычайно перспективными представляются производные l-ментола 1, в частности оптически чистый (–)-ментолактон 2. В литературе описаны некоторые превращения эфира 2 в направленном органическом синтезе. Его восста-

Рис. 1. Структурные формулы L-ментола **1**, (–)-ментолактона **2**, 3*R*,7-диметилоктан-1,6*S*-диола (**3**), (*R*)-цитронеллола **4**, 2,4*R*,8-триметилнонан-2,7*S*-диола (**5**), 2,6*R*-диметилнон-7-ен-6*S*-ола (**6**) и 2,6*R*-диметилнон-8-ен-6*S*-ола (**7**)

новление с помощью алюминийгидрида лития (LiAlH₄) до 3R,7-диметилоктан-1,6S-диола (3) использовано в синтезе (R)-цитронеллола 4 [5]. Сочетанием (-)-ментолактона 2 с 2 экв метилмагнийиодида (MeMgI) получен 2,4R,8-триметилнонан-2,7*S*-диол (5), дегидратация которого дает 2,6*R*-диметилнон-7- (**6**) и 2,6*R*-диметилнон-8-(7) -ен-6S-олы, используемые в парфюмерных композициях (рис. 1) [6]. Регио- и стереоселективное алкилирование соединения 2 аллилбромидом применено при построении одного из колец в синтезе витамина D₃ [7]. В настоящее время (-)-ментолактон 2 используют для получения термопластичных полимеров в реакциях поликонденсации его с β-бутиролактоном [8], а также с 3-окса- [9] и 3-аза- [10] -пентан-1,5-диолами.

Приведенные данные свидетельствуют об ограниченном использовании (–)-ментолактона **2** в направленном органическом синтезе.

В данном обзоре представлены сведения о превращениях 7-членных терпеновых лактонов в направлении к феромонам насекомых и другим низкомолекулярным биорегуляторам.

1. СИНТЕЗ ОПТИЧЕСКИ ЧИСТОГО 3*R*-МЕТИЛЦИКЛОПЕНТАН-1-ОНА И ЕГО СЛОЖНОЭФИРНЫХ ПРОИЗВОДНЫХ

В течение многих лет в литературе уделяется достаточное внимание оптически активным сложноэфирным производным 3-метилциклопентан-1-она **8**, **9** (рис. 2).

Соединения 8 и 9 использовали для синтеза многих лекарственных препаратов [11], а также ипомимарона 10 – фураноидного метаболита терпеноидного происхождения, вырабатываемого в стрессовых ситуациях сладким картофелем [12], (+)-актинидина 11 – основного алкалоида растения Valeriana officinalis [13], α-акорадиена 12 и б-акорадиена 13, содержащихся в маслах настоящих кедров [14], и ретигераниевой кислоты 14 как метаболита витамина А [15]. Кроме того, продукт декарбоксилирования кетоэфиров **8** и **9** – 3*R*-метилциклопентан-1-он (**15**) [16] – является искусственным ароматизатором (вносит вклад в мясной аромат вареной говядины). Он также нашел применение в синтезе компонента болгарского розового масла -4R-розоксида **16** и его 4*S*-эпимера, и компонента масла бархатцев *Tagetes* glandulifera — (+)-дигидротагетона 18. На основе циклопентанона (15) синтезирован ювабион 17 биологически активный бисаболановый метаболит, проявляющий активность ювенильного гормона для клопов семейства Pyrrocoridae (рис. 3).

Ранее эфиры 2R-метил-5-оксоциклопентан-1-карбоновой **8** и 4R-метил-2-оксоциклопентан-1-карбоновой **9** кислот получали циклизацией диметиловых и диэтиловых эфиров 3R-метил-1,6-гександикарбоновой кислоты [17] из R-пулегона, а 3R-метилциклопентан-1-он (**15**) — их декарбоксилированием [18].

$$RO_{2}C$$
 $RO_{2}C$
 $RO_{$

Рис. 2. Структурные формулы сложноэфирных производных 3-метилциклопентан-1-она **8**, **9** и полученных на их основе соединений **10–14**

Рис. 3. Структурные формулы 3R-метилциклопентан-1-она (15) и полученных на его основе соединений 16-18

Нами разработан [16] новый подход к синтезу оптически чистого кетона **15** на основе (–)-ментолактона **2** [19], полученного окислением L-ментола **1** хлорхроматом пиридиния ($Py \cdot CrO_3 \cdot HCl$) по Кори до (–)-ментона **19**, а затем окислением соединения **19** *втор*-декансульфонадкислотой ($s \cdot C_{10}H_{21}SO_2OOH$) по Байеру–Виллигеру (схема 1) [20].

В литературе нами не найдены сведения о пространственном строении (—)-ментолактона ${\bf 2}$, которое мы изучили с использованием методов ЯМР-спектроскопии (двумерной корреляционной спектроскопии COSY (С–Н) и COSY (Н–Н) и двойного резонанса). Установлено, что, как и в других лактонах [21], наличие уплощающей группы в 7-членном гетероцикле приводит к плоской конформации ${\rm C^7O^1C^2(O)C^3}$ фрагмента и жесткой, исключающей псевдовращение, кресловидной конформации 7-членного лактона (рис. 4). Для оценки конформационного состояния ментолактона ${\bf 2}$ проведен анализ протон-протонных констант спин-спинового взаимодействия (КССВ) в интер-

вале температур $-60-60^{\circ}$ С. Большая величина (^{3}J 9.2 Гц) вицинальной КССВ протона при атоме C^7 указывает на его аксиальную ориентацию и, следовательно, на экваториальное положение Priгруппы. Дублет дублетный сигнал протона при атоме C^4 с геминальной КССВ (2J 13.3 Γ ц) имеет вицинальную КССВ (^{3}J 10.9 Гц) с протоном при атоме C^5 , что указывает на аксиальную ориентацию протона при атоме C^4 и, соответственно, – на экваториальное положение Ме-группы при атоме С⁴. Величины протон-протонных КССВ подтверждают кресловидную конформацию лактона 2. Величины КССВ при варьировании температуры изменяются незначительно, что указывает на конформационную устойчивость 7-членного лактона.

Переэтерификацией (–)-ментолактона (2) с помощью изопропанола в присутствии H_2SO_4 получен изопропил-3R,7-диметил-6S-гидроксиоктаноат (20). Последовательное его окисление по Кори до кетона 21, а затем по Байеру–Виллигеру с помощью МХНБК, протекающее региоспецифично,

привело к диэфиру 3R-метилгексан-1,6-диовой кислоты (22) (схема 2).

Циклизация последнего по Дикману проведена несколькими способами. При использовании изопропилата натрия в качестве основания получена хроматографически трудноразделимая смесь (3.5:1) изопропиловых эфиров 4*R*-метил-2-оксо- (23) и 5*R*-метил-2-оксо- (24) -циклопентан-1-карбоновых кислот. Вовлечение в реакцию Дикмана диизопропилового эфира 22 позволяет повысить региоселективность процесса по сравнению с описанной в литературе [22] циклизацией соответствующего диэтилового эфира, приводящей к смеси изомерных эфиров в соотношении 2.5:1. Декарбоксилирование полученной смеси эфиров 23 и 24 нагреванием в ДМСО в присутствии NaCl приводит к единственному продукту – 3*R*-метилциклопентан-1-ону (**15**) (схема 3).

Циклизация соединения **22** в присутствии натрия сопровождается декарбоксилированием с образованием циклопентанона **15** (схема 4).

2. СИНТЕЗ (4*R*)-МЕТИЛНОНАН-1-ОЛА — ОПТИЧЕСКИ ЧИСТОГО ПОЛОВОГО ФЕРОМОНА БОЛЬШОГО МУЧНОГО ХРУЩАКА

Большой мучной хрущак *Tenebrio molitor* – злостный вредитель зерна и зернопродуктов. Развивающиеся личинки питаются хлебными зернами, мукой, отрубями и печеным хлебом. Помимо этого, они поедают крахмал, семена огородных культур, сушеные фрукты и сушеное мясо, ткани и шерсть. Вред, причиняемый мучными жуками, состоит главным образом в том, что они загрязняют муку своим калом и шкурками, сбрасываемыми при линьке.

Описаны схемы синтеза полового феромона большого мучного хрущака, имеющего строение (4R)-метилнонан-1-ола (25) [23].

Рис. 4. Пространственное строение (–)-ментолактона (2)

Нами для синтеза хирального феромона 25 [24, 25] ключевой лактон 2 переэтерификацией метанолом превращен в (3R,6S)-гидроксиэфир (26). После окисления вторичной спиртовой группы в нем по Кори и защиты кетогруппы в соединении 27 полученный кеталь 28 восстановлен по сложноэфирной группе с помощью диизобутилалюминийгидрида (ДИБАГ, *i*-Bu₂AlH). Образовавшийся спирт 29 переведен в бензилоксипроизводное, снятие ацетальной защиты в котором дало бензилоксикетон 30. Как и в случае циклического кетона 19, окисление ациклического кетона 30 под действием втор-декансульфонадкислоты протекало региоспецифично с образованием ω-бензилоксиэфира 31 с (R)-конфигурацией. Гидридное восстановление эфира 31 дало 6-бензилокси-4*R*-метилгексан-1-ол (32), переведенный в соответствующий тозилат, который был вовлечен в сочетание с диэтиллитийкупратным реагентом с получением бензилового эфира (3R)-метилоктан-1-ола (33). Для завершения синтеза целевого феромона 15 требовалось удлинить углеродную цепь на один атом со стороны гидроксильной группы. Эта задача выполнена в 4 стадии, включающие гидрогенолиз эфира 33, бромирование спирта 34 и гомологизацию бромида 35 в результате карбоксилирования соответствующего реагента Гриньяра и последующего гидридного восстановления промежуточной карбоновой кислоты (схема 5).

22

21

ЖУРНАЛ ОРГАНИЧЕСКОЙ ХИМИИ том 59 № 6 2023

20

3. НИЗКОТЕМПЕРАТУРНОЕ ВОССТАНОВЛЕНИЕ 2-ОКСЕПАНОНОВ ДИИЗОБУТИЛАЛЮМИНИЙГИДРИДОМ В ХЛОРИСТОМ МЕТИЛЕНЕ

3.1. СИНТЕЗ 2-ОКСЕПАНОЛОВ И ИХ ПРОИЗВОДНЫХ

Синтетический потенциал (–)-ментолактона 2 может быть существенно расширен превращением его в ментолактол 36. Так как при использовании LiAlH₄ для восстановления сложного эфира 2 до диола 3 [26] остановить процесс на стадии лактола 36 невозможно, нами исследовано [27] его низкотемпературное (–70°С) гидридное восстановление с помощью ДИБАГ.

При использовании стандартных растворителей (Et_2O , толуол или $T\Gamma\Phi$) при низкотемпературном ($-70^{\circ}C$) восстановлении ментолактона **2** количественно образуется соответствующий лактол **36**.

Наиболее интересные результаты получены нами при исследовании низкотемпературного гидридного восстановления (—)-ментолактона 2 с помощью ДИБАГ в хлористом метилене. В зависимости от условий осуществления данной реакции нам удалось провести ее в 3 направлениях.

Нами показано, что в действительности этот процесс протекал неоднозначно, приводя к смеси ментолактола **36**, гидроксикетона **37** и полного ацеталя ментолактола **38**. Варьированием температуры, соотношения реагентов, растворителя, продолжительности реакции и способа разложения подобраны условия преимущественного образования каждого из продуктов (схема 6).

Установлено, что ментолактол 36 предпочтительно образуется при добавлении к ментолактону 2 эквимолярного количества ДИБАГ в режиме титрования при -70° С и быстрого разложения образующего алюмината 39 большим избытком воды при 0° С и представляет собой смесь (1:1, по данным ЯМР) оптически чистого (S)-эпимера лактола 36a и оксиальдегида 36b (схема 7).

Спектральные характеристики ЯМР ¹³С и 1 Н лактола **36а** [ацетального атома углерода C^{2} (94.53 м.д., д) и протона H^2 $(5.20 \text{ м.д., д.д.}^3 J 8.7 \text{ и}$ 5.6Γ и)] и оксиальдегида **36b** [атома C^1 (203.21 м.д.. д) и протона H^1 (9.75 м.д.)] соответствуют приведенным в литературе [28] для насыщенных полуацеталей и альдегидов. Величины химических сдвигов свидетельствуют о том, что свойственной для оксикарбонильных соединений кольчато-цепной таутомерии между полуацеталем 36а и оксиальдегидом 36b в данном случае нет, поскольку медленное (по шкале времени ЯМР) равновесие приводило бы к появлению в спектрах дополнительных со смещенными химическими сдвигами сигналов атомов углерода и протонов форм 36а и **b** или в случае быстрого (по шкале времени ЯМР) обменного равновесия 2 форм к усредненному сигналу резонанса каждой пары соответствующих атомов углерода и протонов 36а и b. Отсутствие сигнала рацемического атома С2, хорошо различимого в спектрах ЯМР диастереомерного гемиацеталя 36а, неизбежно образующегося в случае равновесной циклизации оксиальдегида 36b. также подтверждает отсутствие таутомерного равновесия (рис. 5).

Анализ спектров ЯМР 1 Н лактола **36а** и алюмината **39** показывает, что протон при ацетальном углероде C^2 (д.д.) имеет вицинальные КССВ с 2 геминальными протонами при атоме C^3 , равные 3J 8.7 и 5.6 Γ ц. Из значений констант следует, что протон при ацетальном атоме C^2 имеет акси-

альную ориентацию, следовательно, заместитель (-OH или -Oal) — экваториальную. Исходя из этого, при известных конфигурациях атомов C^4 и C^7 образующийся оптически активный центр алюмината **39** имеет R-, а лактола **36а** — S-конфигурацию.

35

Образование смеси лактола **36a** и оксиальдегида **36b** можно объяснить превращениями на стадии разложения алюминиевого производного **39**. Продукт гидролиза **40** по связям C–Al имеет гораздо меньшие размеры, по сравнению с алюмина-

25

39

том **39**, и роль группы $-Al(OH)_2$ как стереонаправляющей заметно уменьшена. Поэтому молекула воды может атаковать атом C^2 равновероятно с обеих сторон связи $C-OAl(OH)_2$. В результате образуются стабильный S-лактол **36a** и оксиальдегид **36b**, вероятно, образующийся при раскрытии нестабильного R-эпимера лактола (схема 8).

Поскольку при обработке (–)-ментолактона 2 эквимолярным количеством ДИБАГ образуется единственный эпимер алюмината 39, нами предложен метод синтеза [29] оптически чистых О-алкилпроизводных ментолактола 38, 41–43, основанный на низкотемпературной (–70°С) обработке алюмината 39 абсолютными спиртами (МеОН, ЕtOH, *i*-BuOH, *i*-AmOH), насыщенными газообразным HCl (схема 9).

Образовавшиеся ацетали **38**, **41–43** являются оптически чистыми. Поскольку в ходе реакции связь C^2 —О не затрагивается, *О*-алкильный заместитель (как и в алюминате **39**) занимает экваториальное положение, и образующийся эпимер имеет *S*-конфигурацию. Алкилирование алкоголята **39** идет по схеме 10.

Мы предположили, что и изомерный ментолактону **2** карвоментолактон **44** будет вести себя в аналогичных условиях подобным образом. Установлено [30], что карвоментолактол **45a** и гидроксиальдегид **45b** предпочтительно образу-

ются при добавлении эквимолярного количества ДИБАГ к карвоментолактону **44** в режиме титрования и при быстром разложении образующегося алюмината **46** большим избытком воды (схема 11).

36a

36b

Так как ментолактол **36a** является циклической формой гидроксиальдегида **36b**, было изучено их олефинирование различными *н*-алкилидентрифенилфосфоранами, причем в реакцию Виттига вовлекали как заранее полученный ментолактол **36a** и гидроксиальдегид **36b**, так и алюминат **39** [31].

При взаимодействии с H- C_2 - C_6 - и C_{16} -трифенилфосфоранами реакция протекала стандартно с образованием соответствующих непредельных спиртов **47**–**52** (схема 12), которые могут быть использованы в синтезе биологически активных веществ, в частности феромонов насекомых и ювеноидов [19, 32, 33].

Метилидентрифенилфосфоран (CH₂=PPh₃), синтезированный из MePPh₃I с помощью *н*-BuLi, в реакции олефинирования по Виттигу с лактолом **36** и его алюминатом **39** оказался инертным: образования (3*S*,6*R*)-2,6-диметилнон-8-ен-3-ола (**53**) не наблюдалось, что было необычным [34]. Из литературы [35] известно, что соли Li, образующиеся при депротонировании алкилтрифенилфосфонийгалогенидов, снижают активность фосфоранов, кроме того, метилидентрифенилфосфоран сам по себе является малоактивным. Для исклю-

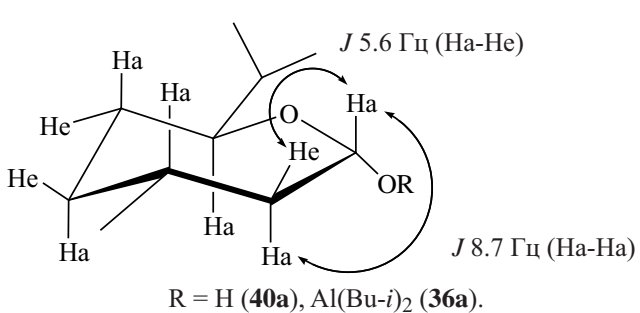


Рис. 5. Спектральные характеристики ЯМР ¹³С и ¹Н лактола **36а**

Схема 10

чения влияния иона Li+ осуществлена попытка олефинирования соединений **36** и **39** СН₂=PPh₃, полученным с помощью NaN(SiMe₃)₂. Но и при этом продукт олефинирования 53 не был обнаружен (схема 13).

Установлено, взаимодействии что при CH₂=PPh₃ с алюминатом **39** образуются продукты полного восстановления и изомеризации лактола 36 – диол 3 и гидроксикетон 37 соответственно в соотношении 3:1 (схема 14).

Из этих экспериментов следовало, что метилидентрифенилфосфоран может выступать в роли как восстановителя, так и способствовать перегруппировке. Однако оставалось невыясненным влияние еще одного компонента реакции - алюминийорганического соединения 39. Для исключения его воздействия СН2=РРh3 вовлечен во взаимодействие с заранее полученным ментолактолом 36. При этом образовался единственный продукт восстановления – диол 3 (схема 15).

Схема 11

n = 0 (47), 1 (48), 2 (49), 3 (50), 4 (51), 14 (52),

Схема 13

Нами предлагается схема восстановления ментолактола $\bf 36$ (схема $\bf 16$) под действием ${\rm CH_2=PPh_3}$, который выступает в качестве гидридного реагента.

Следовательно, в описанных превращениях $\mathrm{CH}_2 = \mathrm{PPh}_3$ выступает только как восстанавливающий агент, что является крайне редким и интересным случаем и не противоречит известным фактам, что илиды фосфора могут окисляться (O_2 , перйодаты и др.), выступая в качестве восстановителей [36]. Продукт перегруппировки ментолакто-

ла **36** – оксикетон **37**, вероятно, образуется в присутствии алюминиевого алкоголята по механизму Меервейна–Понндорфа–Верлея [37].

Нами также обнаружено [38], что реакция $\mathrm{CH_2}=\mathrm{PPh_3}$ с алюминатом карвоментолактола **46** протекает аналогично: образуется смесь (3:1) первично-вторичного диола **54** и гидроксикетона **55** (схема 17).

В то же время в реакции со смесью карвоментолактола 45а и гидроксиальдегида 45b (со

Схема 14

значительным преобладанием последнего) метилидентрифенилфосфоран является не только восстанавливающим до диола **54** (выход 37%), но и олефинирующим до непредельного спирта **56** (выход 13%) реагентом при суммарной конверсии субстрата 50% (схема 18).

Попытки получения алюмината лактола 57 из α-камфолида 58 действием одного экв ДИБАГ в хлористом метилене с последующей обработкой метилидентрифенилфосфораном не увенчались успехом: практически количественно возвратился исходный лактон 58 (схема 19).

Вовлечение в реакцию заранее полученного камфолактола 59 с метилидентрифенилфос-

фораном привело к диолу **60** с конверсией 46% (схема 20).

Отмечаем, что при использовании стерически затрудненного пятичленного пантолактола **61** в виде диалюмината **62** метилидентрифенилфосфоран выступает только как олефинирующий агент до непредельного спирта **63** (схема 21).

Таким образом, нами продемонстрировано, что метилидентрифенилфосфоран в реакциях с рядом 7-членных лактолов, таких как (—)-ментолактол 36, карвоментолактол 45, 1,8,8-триметил-3-оксабицикло[3.2.1]октан-2-ол (59), и их алюминатов 39 и 46 может выступать как восстановитель до соответствующих диолов 3, 54 и 60.

Схема 18

3.2. ПРИМЕНЕНИЕ 2-ОКСЕПАНОЛОВ В СИНТЕЗЕ ОПТИЧЕСКИ АКТИВНЫХ ФЕРОМОНОВ НАСЕКОМЫХ

Рыжий таракан является основным из бытовых вредителей, так как всеяден: питается как остатками человеческой пищи, так и в случае её отсутствия бумагой, тканями, кожей обуви или книжных переплётов, мылом и т.д. Тараканы, имея контакт как с отбросами, скопившимся в щелях мусором, так и со свежими продуктами питания человека, могут становиться причиной распространения различных заболеваний, в особенности гастроэнтерита, диареи, дизентерии и т.д. Большое количество разрушающихся хитиновых покровов, оставляемых тараканами при линьках, в некоторых случаях приводит к возникновению у людей аллергических реакций.

Половым феромоном рыжего таракана-прусака Blatella germanica L. является 3S,11S-диметилнонакозан-2-он, а (S)-(+)-3-метилгенэйкозан-2-он (64) — его действующий оптически активный аналог. Известные методы синтеза соединения 64 [39] исходят из (S)-2-метил-4-пентеновой кислоты и (S)-(+)-дигидромирцена, причем оптическая чистота целевого кетона 64 не превышает 70%.

Нами осуществлен [40] синтез оптически чистого аттрактанта **64**, исходя из продукта олефинирования по Виттигу алюмината ментолактола **36** – (Z)-непредельного спирта **52** (содержание основного стереоизомера 78%, по данным капиллярной ГЖХ). Непредельный спирт **52** превращен каталитическим гидрированием в его насыщен-

ный аналог **65**. При создании структуры целевого α-метилкетона **64** (*S*)-конфигурации использована цепь протекающих без затрагивания C⁶ асимметрического центра превращений: последовательное окисление хлорхроматом пиридиния в кетон **66**, а затем – по региоспецифичной (по данным капиллярной ГЖХ) реакции Байера–Виллигера в изопропиловый эфир **67**, окислительное декарбоксилирование соответствующей кислоты и трансформация образующегося терминального алкена **68** по Ваккеру–Цудзи молекулярным кислородом в присутствии палладиевого катализатора (схема 22).

Наиболее опасным вредителем для хвойных деревьев можно назвать сосновых пилильщиков родов Diprion и Neodiprion - насекомых, которые могут нанести колоссальный вред хвойным растениям и даже погубить их. Если нападение пилильщика соснового произошло на молодую сосну, она неизбежно погибнет в течение 3-4 лет, а из-за ослабления растения оно становится легкой добычей других вредителей и подвержено множеству заболеваний. Наиболее предпочтительным аттрактантом для многих видов хвойных пилильщиков родов Diprion и Neodiprion является 2S-ацетокси-3S,7S-диметилпентадекан [(S,S,S)-диприонилацетат] (69). Все существующие схемы синтеза оптически чистого соединения 69 основываются на конвергентном подходе [39]. Анализ литературных данных свидетельствует о том, что наиболее оптимальными являются методы синтеза на основе 2 пар хиральных синтонов 70 и 71 или 72 и 73 (схема 23). Ранее в качестве исходного субстрата для получения оптически чистых структур-

ных блоков 71 и 73 использовали дорогой и малодоступный (R)-пулегон.

Нами разработаны 2 подхода [41, 42] к синтезу 1-бром-3*S*-метилундекана (**71**) и 1-бром-4*S*-метилдодекана (**73**) в виде единственных энантиомеров из относительно дешевого хирального сырья – *l*-ментола (**1**) после превращения его в ментолактон **2**. Трансформация последнего в целевые бромиды **71** и **73** проведена через общий промежуточный 2,6*S*-диметилтетрадекан-3-он (**74**).

Первый подход к кетону **74** предусматривает окисление ранее полученного гидроксикеталя **29** в соответствующий альдегид **75**, который затем олефинировали по Виттигу с образованием (*Z*)-олефина **76** с выходом 86% (содержание

основного стереоизомера 78%, по данным ГЖХ и ЯМР). Образующийся непредельный кеталь **76** подвергали каталитическому гидрированию и последующей кислотной обработке с выходом на 2,6*S*-диметилтетрадекан-3-он (**74**) (схема 24).

Другой подход состоял в низкотемпературном восстановлении лактона 2 с использованием ДИБАГ и олефинировании *н*-гексилидентрифенилфосфораном промежуточного алюмината лактола 39, сопровождающемся частичным восстановлением ментолактона 2 в диол 3, что снижало выход целевого непредельного спирта 51 до 58%. Гидрирование полученного (*Z*)-алкенола 51 (содержание основного стереоизомера 75%, по данным ГЖХ и ЯМР) привело к предельному спир-

ту 77, окисленному по Кори в изопропилкетон 74 (схема 25).

При дальнейшем построении углеродного скелета ключевых соединений **71** и **73** использовано региоспецифичное окисление кетона **74** по Байеру–Виллигеру в изопропиловый эфир **78**. Омыление последнего до кислоты **79** и вовлечение её в реакцию Хунсдиккера позволяют получить ключевое соединение **71**. Другой бромид **73** синтезирован через промежуточный спирт **80** – продукт гидридного восстановления сложного эфира **78**. Полученные хиральные синтоны **71** и **73** были использованы для введения асимметрического C⁷ центра в молекулу *S,S,S*-**69** (схема **26**) согласно [39].

Персиковый листовой минер *Lyonetia clerckella L.*, повреждая листья яблонь, персиков и других

плодовых деревьев, является злостным вредителем садов. Его личинки выгрызают в тканях растения (под эпидермисом) полоски — мины. При этом уменьшается ассимиляционная площадь листа или стебля, растения ослабляются и могут погибнуть.

Половой феромон персикового листового минера идентифицирован как 14S-метил-1-октадецен (**81**). Ранее его получали [39] из дигидромирцена ($ee \sim 50\%$), метилового эфира 3-гидрокси-2R-метилпропановой кислоты — продукта микробиологического окисления изомасляной кислоты штаммами дрожжей *Candida rugosa*, R-(+)-пулегона ($ee \sim 100\%$) и доступного из L-ментола (R)-4-ментенона.

Олефинированием [32] ментолактола **2** этилидентрифенилфосфораном получен непредельный спирт – 2,6*R*-диметилдец-8-ен-3*S*-ол (**47**), его последовательное гидрирование до предельного

$$(CH_{2})_{7}Me \xrightarrow{MXHEK} (CH_{2})_{7}Me \xrightarrow{MeOH} (CH_{2})_{7}Me \xrightarrow{Ag_{2}O \text{ satem }Br_{2}} (CH_{2})_{7}Me$$

$$74 \qquad 78 \qquad 79 \qquad 71$$

$$\frac{\text{ДИБАГ}}{\text{CH}_{2}\text{CI}_{2}} = 91\%$$

$$HO \xrightarrow{(CH_{2})_{7}Me} \frac{\text{PBr}_{3}}{\text{76}\%} = \text{Br} \xrightarrow{(CH_{2})_{7}Me}$$

$$80 \qquad 73$$

спирта **82**, окисление по Кори и вовлечение образующегося кетона **83** в реакцию Байера—Виллигера привели к изопропил-4*S*-метилоктаноату (**84**). Щелочным гидролизом последний переведен в соответствующую кислоту **85**, вовлеченную в реакцию Хунсдиккера с выходом на 1-бром-3*S*-метилгептан **86**. Реакция кросс-сочетания соединения **86** с 10-ундецен-1-илмагнийбромидом при катализировании системой CuI—2,2'-бипиридил завершила синтез 14*S*-метилоктадец-1-ена (**81**) (схема 27).

3.3. СИНТЕЗ 8-ГИДРОКСИ-2,6*R*-ДИМЕТИЛОКТАН-3-ОНА

Низкотемпературное (-70° C) разложение алюмината ментолактола **39** небольшим количеством воды и выдерживание этой смеси при -60° C в те-

чение 1 ч преимущественно приводит к продукту перегруппировки – гидроксикетону **37** (схема 28) [27].

По-видимому, изомеризация промотируется алюмоксанами, возникающими при неполном разложении алюмината ментолактола **39**. Вероятный механизм реакции подобен механизму Меервейна—Понндорфа—Верлея [37], так как при разложении алюминиевого производного ментолактола **39** щелочным раствором метанола, исключающем образование алюмоксанов, оксикетон **37** не обнаружен (схема **29**).

Низкотемпературное (–70°С) разложение алюмината карвоментолактола **46** небольшим количеством воды и выдерживание этой смеси в течение

1 ч при -60°C приводит, вопреки ожиданиям, не к гидроксикетону **55**, а к димерному полуацеталю **87** (схема 30) [30].

36b

Кроме приведенного выше способа получения оксикетона **37**, нами разработаны и другие методы его синтеза [43].

Один из них основан на первоначальной трансформации ментолактона **2** в соответствующий диол **3**, который подвергнут исчерпывающему окислению по Кори. Обработка образующегося кетоальдегида **88** *трис*-ацетоксиборгидридом натрия [NaBH(OAc)₃], позволяющая хемоселективно восстанавливать альдегидную функцию в

присутствии кетогруппы [44, 45], приводит к целевому продукту **37** с выходом лишь 50%. Низкий выход объясняется образованием значительных количеств (до 50% по данным ГЖХ) дикетоэфира **89** — продукта диспропорционирования по Тищенко кетоальдегида **88** (схема 31).

37

Использование в реакции другого окислителя – системы гипохлорит натрия—АсОН, широко применяемой для окисления вторичных спиртовых групп в присутствии первичных спиртовых групп, по описанной ранее методике [46] при соотношении реагентов диола 3 и NaClO 1:2.1 также осложняется образованием значительных коли-

Схема 30

честв побочных продуктов: 61% того же дикетоэфира **89** и 23% кетокислоты **90** – продукта переокисления альдегида **88** (схема 32).

Наилучший результат достигнут при проведении процесса в режиме титрования (очень медленное прибавление окислителя) при эквимолярном количестве реагентов, что позволяет получить гидроксикетон **37** с выходом 87% без посторонних примесей (схема 33).

3.4. ПРИМЕНЕНИЕ 8-ГИДРОКСИ-2,6R-ДИМЕТИЛОКТАН-3-ОНА В СИНТЕЗЕ ОПТИЧЕСКИ АКТИВНЫХ ФЕРОМОНОВ НАСЕКОМЫХ

Полученный при восстановлении метолактона 2 гидроксикетон 37 послужил в качестве исходного соединения для синтеза изопропилового эфира 4R-метил-6-йодгексановой кислоты (91) — функционального аналога метилового эфира 4R-метил-6-бромгексановой кислоты, доступного из R-(+)-пулегона и применяемого в синтезе биологически активных соединений, используемых в медицине, агрохимии, а также в парфюмерных

материалах и жидких кристаллах [47]. Кроме того, метиловый эфир 4R-метил-6-бромгексановой кислоты использовали [39] в синтезе 1-ацетокси-10R-метилдодекана, 3S,11S-диметилнонакозан-2-она и 2S-ацетокси-3S,7S-диметилпентадекана — половых феромонов малой чайной листовертки, таракана-пруссака и сосновых пилильщиков соответственно.

Хемоселективное превращение оксикетона **37** в целевой йодэфир **91** включало защиту гидроксильной группы, окисление по Байеру—Виллигеру промежуточного тозилоксикетона **92** и замену *пара*-толуолсульфонатной группы в полученном диэфире **93** на йодидную (схема **34**).

Остробрюхие муравьи родов *Crematogaster* и *Myrmica* относятся к подсемейству *Myrmicinae* и занимают промежуточное положение между муравьями и термитами. Они приносят огромный вред деревьям, поедая древесину, разводя тлей, ограждают дерево-хозяина от других насекомых-опылителей, прекращают плодоношение. В состав секрета мандибулярных желез различных видов муравьев рода *Myrmica* входит 6*S*-метилоктан-3-

OTS LiAlH₄, Et₂O
$$\frac{\Pi XX, CH_2Cl_2}{82\%}$$
 O $\frac{GR}{82\%}$ O $\frac{EtMgBr}{58\%}$ OH $\frac{GR}{98\%}$ OH $\frac{GR}{98\%}$

он (94), который проявляет активность феромона тревоги. Ранее соединение 94 получали [39] из этил-3*S*-гидроксибутаноата (*ee* 99%) — продукта восстановления ацетоуксусного эфира пекарскими дрожжами, *R*-пулегона, 2*S*-метилбутилбромида и диэтилмалоната.

Нами [32] для получения 6*S*-метилоктан-3-она (94) тозилоксиэфир 93 гидридным восстановлением, протекающим по обеим сложноэфирным группам, переведен в 4*S*-метилгексан-1-ол (95), далее окисленный по Кори. Вовлечение образующегося альдегида 96 в реакцию Гриньяра с этилмагний-бромидом позволило получить 6*S*-метилоктан-3*RS*-ол (97), окисление которого завершает синтез целевого феромона 94 (схема 35).

Для осуществления синтеза полового феромона персикового листового минера — 14S-метил-1-октадецена (81) — нами [32] использовано катализированное Li_2CuCl_4 кросс-сочетание йодида 91 с этилмагнийбромидом при -10°C , протекающее лишь по галогенидной функции и приводящее к изопропил-4S-метилоктаноату (84). Дальнейшие превращения последнего идентичны описанным выше (схема 36).

Реакция катализированного ${\rm Li_2CuCl_4}$ кросс-сочетания йодида **91** с *н*-гексилмагнийбромидом привела к изопропиловому эфиру 4*S*-метилдодекановой кислоты (**78**) — промежуточному продукту в синтезе [32] 1-бром-3*S*-метилундекана (**71**) и 1-бром-4*S*-метилдодекана (**73**) (схема 37).

Выделенный из дерева Ocotea caparrapi, произрастающего в Колумбии, сесквитерпеноид 3,7*R*,11-триметилдодека-2*E*,4*E*,10-триен парратриен, 98а], обладающий биологической, в том числе противолейкемической активностью, ранее получали в рацемической и оптически активной формах с использованием в качестве субстратов (\pm)- и (+)-цитронеллалей **98** и тиглинового альдегида 99. На ключевых стадиях формирования (2E,4E)-диенового фрагмента целевого капарратриена 98а чаще всего использовали различные варианты реакции Виттига, при этом углеродный остов тиглинового альдегида 99 внедряли после превращения его через стадии соответствующего спирта, бромида и фосфониевой соли в аллильный трифенилфосфоран.

Нами разработан [48] новый метод синтеза аналога (+)-капарратриена -3.7R.11-триметилдодека-

$$CO_2$$
Pr- i CO_2 Pr- i CO_2 Pr- i 78 CO_2 Pr- i O 2Pr- i O 3Pr- i O 3Pr- i O 3Pr- i O 3Pr- i O 4Pr- i

2*E*,4,10-триена (**98**), базирующийся на реакции олефинирования по Виттигу, причем в качестве карбонильной компоненты выступает исходный сопряженный альдегид **99**, а необходимый илид образуется из трифенилфосфониевой соли **100** (*R*)-(-)-цитронеллилбромида **101** при действии на нее *н*-бутиллития. В свою очередь оптически чистый бромид **101** получен в результате хемо- и региоселективных превращений кетоспирта **37**, включающих региоспецифичное окисление по Байеру—Виллигеру тетрагидропиранильного производного гидроксикетона **102**, однореакторное низкотемпературное (-70°C) гидридное восстановление полученного изопропилового эфира **103**

и олефинирование *in situ* образующегося альдегида изопропилидентрифенилфосфораном, снятие тетрагидропиранильной защиты в соединении **104** с получением (R)-(+)-цитронеллола **4**. Целевой капарратриен **98** получен в виде смеси (4:1) соединения 2E,4E- (**98a**) и 2E,4Z- (**98b**) стереоизомеров по данным ГЖХ и ЯМР 1 H (схема 38).

3.5. НИЗКОТЕМПЕРАТУРНОЕ (–70°С) ВОССТАНОВЛЕНИЕ 7-ЧЛЕННЫХ ЛАКТОНОВ ДИИЗОБУТИЛАЛЮМИНИЙГИДРИДОМ В ХЛОРИСТОМ МЕТИЛЕНЕ

При действии двукратного и более мольного количества ДИБАГ на ментолактон $\bf 2$ в хлористом

Схема 40

R = Me(41), Et(42).

метилене и выдерживании реакционной смеси при -70° С в течение 2 ч получается изобутильное производное ментолактола **38** [27]. Образование изобутилового ацеталя оксепанона при низкотемпературном (-70° С) восстановлении 7-членного лактона с помощью ДИБАГ в хлористом метилене является новым методом синтеза в химии алюминийорганических соединений (AOC) (схема 39) [49].

Из литературы известно [50], что ацетали в избытке спирта и в присутствии кислот способны переалкилироваться. Нами это продемонстрировано на примерах получения оптически чистых метилового (41) и этилового (42) производных ментолактола. Синтез осуществлен последовательной обработкой ментолактона 2 при –70°С двукратным мольным количеством ДИБАГ и соответствующими абсолютными спиртами, насыщенными газообразным HCl (схема 40).

При использовании менее активного изопропилового спирта в вышеописанных условиях образу-

ется смесь (\sim 1:1) изопропилового (**105**) и изобутилового (**38**) ацеталей, что доказывает протекание реакции *О*-алкилирования через промежуточное изобутильное производное **38** (схема 41).

Спектральные ЯМР ¹Н и ¹³С характеристики и величины КССВ протонов циклов полных ацеталей 38, 41, 42 и 105 практически совпадают с характеристиками и величинами соответствующих атомов С и Н лактола 36а. Аналогично расположению НО-группы в лактоле 36а О-алкильный заместитель в ацеталях имеет экваториальное положение, образующийся оптически активный центр – S-конфигурацию. При любых конформационных переходах оксепанового цикла взаимная ориентация и конфигурация 3 оптически активных центров не меняются. При этом близкие ЯМР ¹³С и ¹Н спектральные характеристики свидетельствуют о конформационной однородности соединений 38, 41, 42 и 105 и экваториальном положении всех заместителей гетероцикла.

Схема 41

При действии двукратного мольного количества ДИБАГ на карвоментолактон **44** в хлористом метилене и выдерживании реакционной смеси при -70° С в течение 1 ч образуется изобутильное производное карвоментолактола **106** в виде смеси 2 основных диастереомеров в соотношении 7:3 (согласно данным ГЖХ и ЯМР 1 Н, по соотношению интенсивности сигналов протонов при атоме C^{2} : 4.58 и 4.72 м.д.) (схема 42) [51].

В литературе описано низкотемпературное восстановление α-камфолида **58** в толуоле 6-кратным мольным количеством ДИБАГ, которое протекает с образованием эквимолярной смеси экзо- и эндо-изомеров лактола **59** (схема 43) [52].

Нами установлено [53], что при восстановлении того же лактона **58** в хлористом метилене тем же количеством ДИБАГ образуются с выходами 58 и 31%, соответственно, лактол **26** и продукт *О*-алкилирования – изобутиловый ацеталь **107** – в виде смеси (2.5:1) стереоизомеров с экваториальным и аксиальным положением гидроксильной и *i*-ВиО-групп, что свидетельствует о влиянии хлористого метилена на состав и стереохимию образующихся продуктов **59** и **107** (схема 44).

Для расширения ряда 7-членных лактонов, способных образовывать изобутиловые ацетали, исследованы и другие полученные нами 2-оксепаноны 108-114 в реакциях низкотемпературного $(-70^{\circ}\mathrm{C})$ восстановления ДИБАГ в хлористом метилене (рис. 6).

С целью изучения влияния асимметрического изопропилсодержащего центра на стереоселективность реакции образования изобутиловых ацеталей низкотемпературной обработке подвергали эпимер (–)-ментолактона **2** – изоментолактон **108** [54]. При его восстановлении образовалась смесь (1.1:1.0, по данным ЯМР ¹Н) 2 возможных диастереомеров (2*S*,7*R*-**115** и 2*R*,7*R*-**115**) (схема 45).

Спектральные характеристики мажорного аномера (2S,7R-115) [бо́льшая величина КССВ 9.51 Γ Ц ацетального протона (4.37 м.д., д.д), а также более слабопольный сдвиг атома C^2 (105.66 м.д.)] указывают на экваториальную ориентацию O-изобутильной группы. Предположительно в соединении 2S,7R-115 в оксепановом кольце 4R-метильная группа при атоме C^4 занимает экваториальное положение, так как в

Схема 44

Рис. 6. Структурные формулы лактонов 108-114

углеродном спектре химический сдвиг метильной группы при атоме C^4 (26.88 м.д.) близок химическому сдвигу (–)-ментолактона **2** (23.92 м.д.), в котором все заместители в кольце имеют экваториальную ориентацию. С учетом этого в соединении 2S,7R-115 образующийся ацетальный центр имеет S-конфигурацию (рис. 7).

Для объяснения образования одного диастереомера изобутилового ацеталя **38** в случае (—)-ментолактона **(2)**, а из изоментолактона **108** — 2 диастереомеров (2*S*,7*R*-**115** и 2*R*,7*R*-**115**) нами проведен анализ конформаций исходных лактонов. Согласно квантово-химическим расчётам энергии Гиббса методом теории функционала плотности

26.88 м.д.

H_а

$$J_{2\text{Ha-3Ha}}$$
 9.5 Гц

 $J_{2\text{Ha-3He}}$ 2.16 Гц

 $J_{2\text{Ha-3He}}$ 2.16 Гц

 $J_{2\text{Ha-3He}}$ 4.37 м.д. дд

OBu-*i*

105.66 м.д.

23.92 м.д.

H_a
 $J_{2\text{Ha-3H}}$ 6.85 и 6.63 Гц

H_a
 $J_{2\text{H-3H}}$ 6.85 и 6.63 Гц

 $J_{2\text{Ha-3He}}$ 99.52 м.д.

28,7*R*-115

Рис. 7. Спектральные характеристики изобутиловых ацеталей изоментолактола и ментолактона

Рис. 8. Конформации изоментолактона 108а-с

[M06-2X/6-31+G(d,p)] [55], устойчивость конформаций изоментолактона 108 убывает в ряду **108а** (0.0 кДж/моль) > **108b** (7.4 кДж/моль) > **108c** (8.5 кДж/моль), где в скобках приведена разница в свободной энергии. Из приведенных структур видно, что для изоментолактона 108 характерно наличие 3 конформаций с низким энергетическим барьером перехода. Несмотря на то, что структура 108 обладает гибкостью, наиболее устойчивой является конформация 108а - кресло с экваториальным положением изопропильной группы и аксиальным положением метильной группы. Близкими к конформации 108а по энергии являются конформации: 108b – твист с экваториально расположенными заместителями и 108с - кресло с аксиальным положением изопропильной группы и экваториальным положением метильной группы (рис. 8).

В случае (—)-ментолактона (2) наблюдаются 2 возможные конформации, причем, как по экспериментальным данным, так и согласно квантово-химическим расчётам, наиболее стабильной является кресловидная конформация с экваториальной ориентацией всех заместителей (рис. 9). Данные квантово-химических расчетов указывают на понижение устойчивости конформаций для (—)-ментолактона 2 при переходе от структуры 2а (0.0 кДж/моль) к структуре 2b (13.8 кДж/моль).

Таким образом, у (–)-ментолактона 2 устойчивой является одна конформация с экваториальной ориентацией заместителей, и поэтому образование изобутилового ацеталя 38 протекает стереоспецифично. Тогда как у изоментолактона 108 устойчивы 3 конформации, поэтому образование изобутилового ацеталя 115 менее стереоселективно.

При низкотемпературном восстановлении β -камфолида **109** 2 экв ДИБАГ в хлористом метилене образовалась диастереомерная смесь (1.3:1.0, по данным ЯМР 1 Н) лактолов **116** [53]. При увели-

чении количества ДИБАГ до 4 экв удалось зафиксировать изобутиловый ацеталь 117 (10%). При использовании 6 экв ДИБАГ образовалась смесь, состоящая из 65% диастеремерных пар лактолов **116** (1.3:1.0, по данным ЯМР ¹Н) и 30% изобутиловых ацеталей **117** (1.4:1.0, по данным ЯМР ¹Н) (схема 46). Наиболее информативными при стереохимическом отнесении спектров ЯМР соединений 116 и 117 являются величины химических сдвигов атомов углерода в голове мостика (C^1 , C^5) и в основании ванны (C^6, C^7) , а также величины химических сдвигов и КССВ аномерного протона Н³. Относительно слабопольные сдвиги указанных атомов (1-2.5 м.д.), а также более сильнопольный сдвиг аномерного протона Н³ 5.06 м.д. и большая величина КССВ ($J_{\rm H}^3_{\rm -H}^4$ 5.3 Γ ц) указывают на экваториальную ориентацию i-BuO-группы в преобладающем экзо-изомере.

Еще одним объектом для низкотемпературного восстановления был выбран оксибислактон **118** [53]. Реакция протекает (схема 47) как в традиционных (ТГ Φ , толуол) растворителях, так и в хлористом метилене с преимущественным образованием (3:1) *экзо*-изомера лактола **119** по каждому из центров независимо от избытка реагента и продолжительности реакции.

При низкотемпературном восстановлении каранового лактона **110** [51] с использованием 2 экв ДИБАГ также образовалась смесь (2.5:1) лактола **120** и ацеталя **121** (схема 48). Причем, по данным ЯМР ¹Н, полный ацеталь **121** существует в виде смеси (3:1) эпимеров по асимметрическому аце-

Рис. 9. Конформации ментолактона 2а, b

Схема 47

тальному центру. Величина КССВ ($J_{\rm H^2-H^3}$ 8.9 Гц) аномерного протона в преобладающем стереоизомере указывает на его аксиальную ориентацию и, следовательно, на экваториальное положение O-изобутильной группы. Исходя из этого, при известной конфигурации атома C^5 с экваториальной ориентацией метильной группы [т.к. протон (д.д 3.62 м.д.) при нем имеет вицинальные КССВ с 2 геминальными протонами при C^6 , равные 9.6, 6.2 Гц] образующийся оптически активный центр C^3 преобладающего эпимера ацеталя **121** имеет R-конфигурацию.

При низкотемпературном восстановлении лактона **111**, доступного из бетулина **122** [51], 2 экв ДИБАГ образовалась смесь лактола **123** (70%) и изобутилового ацеталя **124** (15%). Выход последнего удалось повысить при увеличении количества ДИБАГ до 4 экв. Кроме того, изобутиловый ацеталь **124** получен встречным синтезом: последовательной низкотемпературной обработкой 1 экв ДИБАГ лактона **111** и затем изобутанолом, насыщенным газообразным HCl (схема 49).

Восстановление монометиллактона **112** [51] 4 экв ДИБАГ в хлористом метилене при -70°C

Схема 48 О 2 ЭКВ ДИБАГ, CH₂Cl₂, -70°C 110 120, 55% 121, 35%

приводило к смеси лактола **125** (65%) и его изобутилового ацеталя **126** (30%). Последний также получен вышеописанным встречным синтезом (схема 50).

Апетали 124 и 126, как и изобутиловый апеталь ментолактола 38, существуют в виде единственного R-энантиомера по C^3 -асимметрическому центру: величины вицинальной КССВ протонов при атоме C^3 с H^{2a} (8.9 и 8.7 Гц. соответственно) указывают на аксиальную ориентацию ацетального протона, следовательно, на экваториальное положение і-ВиО-группы. В лактолах 123 и 125, в отличие от соединений 124 и 126, величины вицинальных КССВ ацетальных протонов с геминальными протонами при атоме C^2 (6.8, 1.7 и 6.9, 1.8 Гц, соответственно) свидетельствуют об аксиальной ориентации гидроксильных групп при атоме C^3 . Таким образом, при восстановлении тритерпеновых лактонов 111 и 112 образуются 3*R*-ацетали **124**, **126** и 3*S*-лактолы **123** и **125**.

Образование эпимеров по ацетальному центру нами объясняется следующими вероятными превращениями. При низкотемпературной обработке лактонов 111, 112 ДИБАГ вначале образуются 3S-алюминаты лактолов 127, 128 с экваториальной ориентацией AlO-группы. Это следует из структуры изобутиловых ацеталей 124, 126, образующихся при обработке алюминатов 127, 128 спиртом, насыщенным газообразным НСІ, которая идет с сохранением ориентации ацетального протона, как и в случае алюмината ментолактола. При разложении 3S-алюминатов 127, 128 водой образуются 3R-лактолы 123, 125, однако последние, видимо, из-за стерических факторов являются неустойчивыми и за счет кольчато-цепной таутомерии через гидроксиальдегиды 129, 130 полностью превращаются в устойчивые 3S-эпимеры 123, 125 (схема 51).

Образование одного энантиомера по ацетальному центру в алюминатах 127, 128 и, следовательно, в изобутиловых ацеталях 124, 126, по-видимому, обусловлено внутримолекулярной асимметрической индукцией под влиянием углеродного остова молекулы лактонов 111 и 112.

Соединение 113 имеет в своем составе 5- и 7-членные лактоновые фрагменты. Однако, не-

смотря на незначительные различия в кольце F, характерные для 2 однотипных соединений 111 и 113, при низкотемпературном восстановлении соединения 113 в тех же условиях (4 экв ДИБАГ) образовался только дилактол 131, причем также в виде единственного 3S-энантиомера (схема 52).

Одинаковые величины химических сдвигов атома C^3 (93.19 м.д. в 7-членном кольце A соединения **123** и 94.58 м.д. в аллобетулинолактоле **131**), а также величины КССВ протона при атоме C^3 (J_3^a 6.5 и 6.8 Гц соответственно) указывают на аксиальноеположение гидроксильной группы. В спектрах ЯМР 13 С и 14 Н реакционной смеси восстановленного продукта **131** имеются единственные сигналы атома C^{28} и протона при нем. Из этих данных можно заключить, что при восстановлении лактона по кольцу F проходит образование только одного стереоизомера. Отсутствие продуктов O-алкилирования, по-видимому, объясняется стерическими факторами.

Низкотемпературное гидридное восстановление тритерпенового 7-членного лактона **114** [56] протекает с образованием изобутилового ацеталя **132** и диола **133** с выходами 20 и 45% соответственно, причем в обоих соединениях наблюдается превращение 1,3-еноновой системы в 1,3-диеновую в кольце С (схема 53).

Согласно данным ЯМР 13 С спектроскопии, полученным ранее для низкотемпературного восстановления под действием ДИБАГ (—)-ментолактона **2**, вероятный путь формирования *О*-изобутильного производного **132** предполагает в качестве алкилирующего агента промежуточно выделяющийся изобутилен, активированный алюминиевыми производными в качестве кислот Льюиса. Триендиол **133** — продукт исчерпывающего гидридного восстановления по лактонному кольцу А и последующей дегидратации—предположительно образуется по маршруту соединений **114** \rightarrow **134** \rightarrow **135** (схема 54).

Ацеталь **132**, как и изобутиловый ацеталь олеанановой структуры **124**, существует в виде единственного R-энантиомера по C^3 -асимметрическому центру: величина вицинальной КССВ протона при атоме C^3 с H^{2a} (9.0 Γ ц) указывает на аксиальную ориентацию ацетального протона и, следовательно, на экваториальную ориентацию i-ВиО-группы.

Таким образом, нами на примере (-)-ментолактона описана новая реакция в химии АОС – образование изобутилового ацеталя ментолактола при низкотемпературном восстановлении (-)-ментолактона диизоьутилалюминийгидридом в хлористом метилене, дополнительно подтвержденная еще 7 примерами. Отсутствие изобутиловых ацеталей при восстановлении дилактонов 113 и 118, по-видимому, связано со стерической нагруженностью молекул.

3.6. УСЛОВИЯ ОБРАЗОВАНИЯ ИЗОБУТИЛОВЫХ АЦЕТАЛЕЙ

Для определения границ образования изобутиловых ацеталей [57] в зависимости от размера цикла в реакцию низкотемпературного гидридного восстановления вовлечены 6- (136) и 8- (137) членные лактоны. Восстановление их двукратным мольным количеством ДИБАГ в хлористом метилене при -70°C проходило с образованием соответствующих лактолов 138, 139 и оксиальдегидов 140, 141. При использовании даже 6 экв ДИБАГ изобутиловые ацетали не обнаружены (схема 55).

Для определения границ образования изобутиловых ацеталей в зависимости от природы алюминийорганического реагента [56] нами использован тризобутилалюминий (ТИБА). Была проведена серия опытов взаимодействия ТИБА с (-)-ментолактоном 2 в различных температурных условиях: от –70°C до комнатной температуры. При этом ре-

акция не шла — выделен лишь исходный (—)-ментолактон (2). При кипячении в CH_2Cl_2 с 50%-ной конверсией образовался продукт полного восстановления — диол 3. Это, очевидно, объясняется тем, что при 40°С ТИБА превращается в ДИБАГ, который, в свою очередь, и является гидридным реагентом (схема 56).

Для определения влияния цикличности на образование изобутиловых ацеталей [57] в процессе низкотемпературного (-70° C) восстановления избытком ДИБАГ в CH_2Cl_2 в качестве субстрата был взят линейный сложный метиловый эфир пальмитиновой кислоты **142**. При этом с количественным выходом выделен продукт восстановления — аль-

дегид 143) а ожидаемый полуацеталь 144 не обнаружен (схема 57).

С целью изучения свойства циклических производных 7-членных лактонов в условиях образования изобутиловых ацеталей в реакцию взаимодействия с диизобутилалюминийгидридои вовлекали доступный из (–)-ментолактона 2 гидроксиэфир 26 [58].

При действии 2 экв ДИБАГ на оксиэфир **26** реакция протекала с образованием смеси (1:1) лактола **36a** и гидроксиальдегида **36b**. Использование 4 экв ДИБАГ позволяет получить преимущественно (60%) изобутиловый ацеталь **38** в виде единственного (2S,4R,7S)-эпимера [как и в случае

Схема 57

(–)-ментолактона (2)], наряду с лактолом **36а** и гидроксиальдегидом **36b**. Таким образом, гидроксиэфир **26** в этой реакции ведет себя подобно его циклическому предшественнику **2** (схема 58).

Низкотемпературное восстановление продукта окисления гидроксиэфира 26 – кетоэфира 27 – 2 экв ДИБАГ приводило к смеси (1.4:1.0, по данным капиллярной ГЖХ) 2 эпимерных гидроксиальдегидов 36b и 6R-36b (схема 59). Первый из них 36b, по данным ЯМР 1 Н и 13 С, существует в равновесии с циклической формой 36a. Отсутствие сигналов лактольной формы (6R)-гидроксиальдегида 6R-36b объяснено нами полным смещением равновесия в сторону гидроксиальдегида 6R-36b, что подтверждено низкотемпературным восстановлением изоментолактона 108 1 экв ДИБАГ только в оксиальдегид 6R-36b.

Обработка кетоэфира **27** 4 экв ДИБАГ в хлористом метилене и выдерживание смеси в течение

ЖУРНАЛ ОРГАНИЧЕСКОЙ ХИМИИ том 59 № 6 2023

2 ч при -70°C приводили к смеси изобутиловых ацеталей **38**; 2S,7R**-115**; 2R,7R**-115** в соотношении 3.2:1.3:1.0 соответственно, по данным капиллярной ГЖХ (схема 60).

При восстановлении эфира **27** вначале образуются 2 диастереомерных АОС (**145** и 6*R***-145**) по центру с изопропильным заместителем в соотношении 1.4:1.0, что доказано превращением их в соответствующие диолы **3** и 6*R***-3** в результате нагревания реакционной массы до комнатной температуры и последующего гидролиза (схема 61).

Дальнейшая обработка 2 экв ДИБАГ 6S-изомера AOC **145** ведет к образованию ацеталя **38**, а 6R-изомер (6R-**145**) в этих условиях превращается в диастереомерную пару 2S, 7R-**115** и 2R, 7R-**115** в соотношении 1.3:1.0. Таким образом, кетоэфир **27** проявляет себя в реакции низкотемпературного восстановления двояко — как (—)-ментолактон **(2)** и изоментолактон **108** (схема 62).

При вовлечении в данную реакцию региоизомерных эфиров 6-гидрокси- (146) и 6-кето- (147) кислот, доступных из карвоментолактона 44, реакция протекала без образования изобутилового ацеталя 148, что, вероятно, объясняется заменой изопропильного заместителя на метильный в α -положении к оксо- или гидроксифункциям (схема 63) [59].

Низкотемпературное восстановление [56] метилового эфира 6-гидроксигексановой кислоты **149** 4 экв ДИБАГ проходило с преимущественным образованием оксиальдегида **150**, изобутиловый ацеталь лактола **151** присутствовал в реакционной смеси в виде небольшой (3%) примеси, по данным ЯМР ¹Н и ¹³С (схема 64).

Схема 63

Схема 65

Полный ацеталь **152** не был обнаружен при восстановлении в вышеописанных условиях метилового эфира 12-гидроксикислоты **153**, с высоким выходом получен только соответствующий гидроксиальдегид **154** (схема 65).

Итак, реакция образования изобутиловых ацеталей лактолов характерна для 7-членных лактонов, в том числе и для ациклических производных (—)-ментолактона: метиловых эфиров 6-гидроксии 6-оксо-3,7-диметилоктановых кислот.

ЗАКЛЮЧЕНИЕ

Рассмотрено низкотемпературное восстановление (-)-ментолактона под действием ДИБАГ в хлористом метилене. В зависимости от условий реакция протекает с образованием 3 продуктов: 7S-изопропил-4R-метилоксепан-2S-ола [(–)-ментолактола], 8-гидрокси-2,6*R*-диметилоктан-3-она, 2S-изобутокси-7S-изопропил-4R-метилоксепана, для каждого из которых приведены вероятные пути и подобраны условия селективного образования. Описано получение изобутиловых ацеталей 2-оксепанолов при низкотемпературном (-70°C) восстановлении 7-членных лактонов двукратным и более мольным количеством ДИБАГ в хлористом метилене. Проанализированы методы синтеза на основе (-)-ментолактола, его алюмината и 8-гидрокси-2,6*R*-диметилоктан-3-она ряда низкомолекулярных биорегуляторов, в том числе оптически активных феромонов насекомых-вредителей сельского и лесного хозяйства.

ФОНДОВАЯ ПОДДЕРЖКА

Работа выполнена при финансовой поддержке программы РАН по теме «Направленный синтез низкомолекулярных биорегуляторов на основе селективных превращений липидов, терпеноидов и стероидов» (№ госрегистрации 122031400275-1, 2022 г.).

ИНФОРМАЦИЯ ОБ АВТОРАХ

Выдрина Валентина Афанасиевна. ORCID: https://orcid.org/0000-0003-0359-7853

Яковлева Марина Петровна. ORCID: https://orcid.org/0000-0002-2932-7483

Ишмуратов Гумер Юсупович. ORCID: https://orcid.org/0000-0002-7549-1874

КОНФЛИКТ ИНТЕРЕСОВ

Авторы заявляют об отсутствии конфликта интересов.

СПИСОК ЛИТЕРАТУРЫ

- Яковлева М.П., Денисова К.С., Выдрина В.А., Толстиков А.Г., Ишмуратов Г.Ю. ЖОрХ. 2021, 57, 607–660. [Yakovleva M.P., Denisova K.S., Vydrina V.A., Tolstikov A.G., Ishmuratov G.Yu. Russ. J. Org. Chem. 2021, 57, 679–729.] doi 10.1134/S1070428021050018
- 2. Parenty A., Moreau X., Campagne J.-M. *Chem. Rev.* **2006**, *106*, 911–939. doi 10.1021/cr0301402
- 3. Krow R. *Tetrahedron*. **1981**, *37*, 2697–2724. doi 10.1016/S0040-4020(01)92337-3

- Ишмуратов Г.Ю., Выдрина В.А., Галкина Ю.А., Яковлева М.П., Ишмуратова Н.М., Толстиков А.Г. XПС. 2015, 871–892. [Ishmuratov G.Yu., Vydrina V.A., Galkina Yu.A., Yakovleva M.P., Ishmuratova N.M., Tolstikov A.G. Chem. Nat. Compd. 2015, 51, 1011–1034.] doi 10.1007/s10600-015-1483-5
- Shono T., Matsumura Y., Hibino K., Mayawaki Sh. *Tetrahedron Lett.* 1974, 1295–1298. doi 10.1016/ s0040-4039(01)82471-0
- 6. Ochsner P.A., De Polo K.-F. Пат. 12936176 (**1979**). Швейцария. *РЖХим*. **1979**, 20P516.
- 7. Daniewski A.R, Warchoł T. *Liebigs Ann. Chem.* **1992**, 965–973. doi 10.1002/JLAC.1992199201159
- 8. Adams F., Pehl T.M., Kränzlein M., Kernbichl S., Kang J., Papadakis C.M., Rieger B. Polym. Chem. **2020**, *11*, 4426–4437. doi 10.1039/d0py00379d
- Wanamaker C.L., O'Leary L.E., Lynd N.A., Hillmyer M.A., Tolman W.B. *Biomacromolecules*. 2007, 8, 3634–3640. doi 10.1021/bm700699g
- Gurusamy-Thangavelu S.A., Emond S.J., Kulshrestha A., Hillmyer M., Macosko C., Tolman W., Hove T. *Polym. Chem.* 2012, 3, 2941–2948. doi 10.1039/ C2PY20454A
- Takahashi K., Komine K., Yokoi Y., Ishihara J., Hatakeyama S. *J. Org. Chem.* **2012**, *77*, 7364–7330. doi 10.1021/jo301145r
- 12. Burka L.T., Bowen R.M., Wilson B.J. *J. Org. Chem.* **1974**, *39*, 3241–3244. doi 10.1021/jo00936a014
- 13. Wuest J.D. *J. Org. Chem.* **1977**, *42*, 2111–2113. doi 10.1021/jo00432a019
- 14. Marx J.N., Norman L.R. *J. Org. Chem.* **1975**, *40*, 1602–1606. doi 10.1021/jo00899a018
- 15. Thorel J.-N. Пат. FR2622103 A1 (1989). Фр.
- 16. Ишмуратов Г.Ю., Яковлева М.П., Ганиева В.А., Гареева Г.Р., Муслухов Р.Р., Толстиков Г.А. *ХПС*. **2005**, *41*, 18–20. [Ishmuratov G.Yu., Yakovleva M.P., Ganieva V.A., Gareeva G.R., Muslukhov R.R., Tolstikov G.A. *Chem. Nat. Compd.* **2005**, *41*, 549–551.] doi 10.1007/s10600-005-0203-y
- 17. Lochte H.L., Pittman A.G. *J. Org. Chem.* **1960**, 25, 1462–1464. doi 10.1021/jo01078a620
- 18. Kokke W.C.M., Varkevisser F. *J. Org. Chem.* **1974**, *39*, 1535–1539. doi 10.1021/jo00924a018
- 19. Ишмуратов Г.Ю., Яковлева М.П., Харисов Р.Я., Боцман Л.П., Ишмуратова Н.М., Толстиков Г.А. *Юбилейный сборник «50 лет Институту органической химии УНЦ РАН»*. Ред. М.С. Юнусов. Уфа: Гилем, **2001**, 167–176.
- Сафиуллин Р.Л., Волгарев А.Н., Ишмуратов Г.Ю., Яковлева М.П., Одиноков В.Н., Комиссаров В.Д., ЖУРНАЛ ОРГАНИЧЕСКОЙ ХИМИИ том 59 № 6 2023

- Толстиков Г.А. Докл. АН СССР. **1991**, 316, 640–642
- 21. Верещагин А.Н., Катаев В.Е., Брединин А.А. Конформационный анализ углеводородов и их производных. М.: Наука, **1990**.
- 22. Sandoz A.G. Пат. GB1004661 (1965). Брит.
- 23. Яковлева М.П., Выдрина В.А., Ишмуратова Н.М., Ишмуратов Г.Ю. *Бутлеров. сообщ.* **2021**, *65*, 34–42. doi 10.37952/ROI-jbc-01/21-65-2-34
- Одиноков В.Н., Ишмуратов Г.Ю., Яковлева М.П., Сафиуллин Р.Л., Волгарев А.Н., Комиссаров В.Д., Муслухов Р.Р., Толстиков Г.А. Докл. АН СССР. 1992, 326, 842–846.
- 25. Одиноков В.Н., Ишмуратов Г.Ю., Яковлева М.П., Сафиуллин Р.Л., Комиссаров В.Д., Толстиков Г.А. *Изв. АН СССР. Сер. хим.* **1993**, *327*, 1301–1302. [Odinokov V.N., Ishmuratov G.Yu., Yakovleva M.P., Safiullin R.L., Komissarov V.D., Tolstikov G.A. *Russ. Chem. Bull.* **1993**, *42*, 1244–1245.] doi 10.1007/BF00702016
- 26. Толстиков Г.А., Юрьев В.П. *Алюминийорганический синтез*. М.: Наука, **1979**.
- 27. Ишмуратов Г.Ю., Яковлева М.П., Выдрина В.А., Хасанова Э.Ф., Муслухов Р.Р., Ишмуратова Н.М., Толстиков Г.А. *Хим. растит. сырья.* **2007**, 23–32.
- 28. Валтер Р.Э. *Кольчато-цепная изомерия в органиче-ской химии*. Рига: Зинатне, **1978**, 170–191.
- 29. Ишмуратов Г.Ю., Яковлева М.П., Выдрина В.А., Муслухов Р.Р., Талипов Р.Ф. *Вестн. Башкирск. унта.* **2008**, 13–14.
- 30. Ишмуратов Г.Ю., Выдрина В.А., Яковлева М.П., Галкина Ю.А., Муслухов Р.Р., Толстиков Г.А. *XПС*. **2011**, 786–788. [Ishmuratov G.Y., Vydrina V.A., Yakovleva M.P., Galkina Yu.A., Muslukhov R.R., Tolstikov G.A. *Chem. Nat. Compd.* **2012**, *47*, 896–898.] doi 10.1007/s10600-012-0098-3
- 31. Ишмуратов Г.Ю., Выдрина В.А., Назаров И.С., Галкина Ю.А., Яковлева М.П., Лобко И.Ф., Муслухов Р.Р., Толстиков А.Г. *XПС*. **2012**, *48*, 869–872. [Ishmuratov G.Y., Vydrina V.A., Nazarov I.S., Galkina Y.A., Yakovleva M.P., Lobko I.F., Muslukhov R.R., Tolstikov A.G. *Chem. Nat. Compd.* **2013**, *48*, 981–984.] doi 10.1007/s10600-013-0444-0
- 32. Ишмуратов Г.Ю., Яковлева М.П., Ганиева В.А., Амирханов Д.В., Толстиков Г.А. *XПС*. **2005**, *41*, 592–593. [Ishmuratov G.Y., Yakovleva M.P., Ganieva V.A., Amirkhanov D.V., Tolstikov G.A. *Chem. Nat. Compd.* **2005**, *41*, 719–721.] doi 10.1007/s10600-006-0019-4
- 33. Ишмуратов Г.Ю., Яковлева М.П., Ишмуратова Н.М., Выдрина В.А., Муслухов Р.Р., Толстиков Г.А. *Хим*.

- в интересах устойчивого развития. **2008**, 16, 721–725.
- Ишмуратов Г.Ю., Яковлева М.П., Выдрина В.А., Муслухов Р.Р., Толстиков Г.А. *Бутлеров.сообщ.* 2007, 12, 31–33.
- 35. *Органические реакции*. Ред. И.Ф. Луценко. М.: Мир, **1967**, *14*.
- 36. *Общая органическая химия*. Ред. Н.К. Кочетков, В.А. Смит. М.: Химия, **1983**, *5*.
- 37. Ли Дж.Дж. *Именные реакции. Механизмы органических реакций.* Ред. В.М. Демьянович. М.: БИНОМ. Лаборатория знаний, **2006**.
- 38. Ишмуратов Г.Ю., Выдрина В.А., Яковлева М.П., Валеева Э.Ф., Муслухов Р.Р., Толстиков Г.А. ЖОрХ. 2011, 47, 1127–1129. [Ishmuratov G.Y., Vydrina V.A., Yakovleva M.P., Valeeva E.F., Muslukhov R.R., Tolstikov G.A. Russ. J. Org. Chem. 2011, 47, 1142–1145.] doi 10.1134/S1070428011080045
- 39. Ишмуратов Г.Ю., Яковлева М.П., Ишмуратова Н.М., Толстиков А.Г., Толстиков Г.А. *Монотерпеноиды в химии оптически активных феромонов насекомых*. М.: Наука, **2012**.
- Ишмуратов Г.Ю., Яковлева М.П., Харисов Р.Я., Муслимова И.М., Сафиуллин Р.Л., Толстиков Г.А. *Изв. АН. Сер. хим.* 1997, 46, 1071–1073. [Ishmuratov G.Y., Yakovleva M.P., Kharisov R.Y., Muslimova I.M., Muslukhov R.R., Safiullin R.L., Tolstikov G.A. *Russ. Chem. Bull.* 1997, 46, 1033–1035.] doi 10.1007/BF02496144
- 41. Ишмуратов Г.Ю., Яковлева М.П., Ганиева В.А., Харисов Р.Я., Газетдинов Р.Р., Толстиков Г.А. *XПС*. **2006**, *42*, 73–76. [Ishmuratov G.Y., Yakovleva M.P., Ganieva V.A., Kharisov R.Y., Gazetdinov R.R., Abulkaramova A.M., Tolstikov G.A. *Chem. Nat. Compd.* **2006**, *42*, 92–95.] doi 10.1007/s10600-006-0043-4
- 42. Яковлева М.П., Хасанова Э.Ф., Выдрина В.А., Ишмуратова Н.М., Талипов Р.Ф., Ишмуратов Г.Ю. *Вестн. Башкирск. ун-та.* **2008**, *13*, 891–894.
- Ишмуратов Г.Ю., Яковлева М.П., Ганиева В.А., Муслухов Р.Р., Толстиков Г.А. *XПС*. **2005**, *41*, 33–36. [Ishmuratov G.Y., Yakovleva M.P., Ganieva V.A., Muslukhov R.R., Tolstikov G.A. *Chem. Nat. Compd.* **2005**, *41*, 41–44.] doi 10.1007/s10600-005-0070-6
- 44. Ишмуратов Г.Ю., Харисов Р.Я., Яковлева М.П., Боцман О.В., Муслухов Р.Р., Толстиков Г.А. *Изв. АН. Сер. хим.* **1999**, *48*, 198–199. [Ishmuratov G.Y., Kharisov R.Y., Yakovleva M.P., Botsman O.V., Muslukhov R.R., Tolstikov G.A. *Russ. Chem. Bull.* **1999**, *48*, 197–198.] doi 10.1007/BF02494428

- 45. Ишмуратов Г.Ю., Харисов Р.Я., Яковлева М.П., Боцман О.В., Муслухов Р.Р., Толстиков Г.А. ЖОрХ. **2001**, *37*, 49–50. [Ishmuratov G.Y., Kharisov R.Y., Yakovleva M.P., Botsman O.V., Muslukhov R.R., Tolstikov G.A. Russ. J. Org. Chem. **2001**, *37*, 37–39.] doi 10.1023/A:1012313114674
- Stevens R.V., Chapman K.T., Stubbs C.A., Tam W.W., Albizati K.F. *Tetrahedron Lett.* 1982, 23, 4647–46550. doi 10.1016/S0040-4039(00)85677-4
- 47. Yoshimoto H. Пат. 01 261 347 (**1989**). Яп. *С.А.* **1990**, *112*, 197633u.
- 48. Выдрина В.А., Кравченко А.А., Яковлева М.П., Ишмуратова Н.М., Ишмуратов Г.Ю. *XIIC.* **2018**, *54*, 391–393. [Vydrina V.A., Kravchenko A.A., Yakovleva M.P., Ishmuratova N.M., Ishmuratov G.Yu. *Chem. Nat. Compd.* **2018**, *54*, 461–463.] doi 10.1007/s10600-018-2379-y
- Ишмуратов Г.Ю., Выдрина В.А., Яковлева М.П., Валеева Э.Ф., Муслухов Р.Р., Толстиков Г.А. ЖОрХ.
 2011, 47, 471–472. [Ishmuratov G.Y., Vydrina V.A., Yakovleva M.P., Valeeva E.F., Muslukhov R.R., Tolstikov G.A. Russ. J. Org. Chem. 2001, 47, 472–473.] doi 10.1134/S1070428011030304
- 50. *Общая органическая химия*. Ред. Д. Бартон, У.Д. Оллис. М.: Химия, **1986**, *11*.
- 51. Ишмуратов Г.Ю., Выдрина В.А., Галкина Ю.А., Яковлева М.П., Муслухов Р.Р., Толстиков Г.А. ЖОрХ. **2014**, *50*, 1714–1717. [Ishmuratov G.Y., Vydrina V.A., Galkina Y.A., Yakovleva M.P., Muslukhov R.R., Tolstikov G.A. *Russ. J. Org. Chem.* **2014**, *50*, 1704–1707.] doi 10.1134/S1070428014110311
- 52. Suginome H., Yamada S. *Bull. Chem. Soc. Jap.* **1985**, *58*, 3055–3056. doi 10.1246/bcsj.58.3055
- 53. Ишмуратов Г.Ю., Выдрина В.А., Галкина Ю.А., Яковлева М.П., Кравченко А.А., Муслухов Р.Р., Толстиков А.Г. *XПС*. **2015**, *51*, 617–621. [Ishmuratov G.Yu., Vydrina V.A., Galkina Yu.A., Yakovleva M.P., Kravchenko A.A., Muslukhov R.R., Tolstikov A.G. *Chem. Nat. Compd.* **2015**, *51*, 716–720.] doi 10.1007/s10600-015-1391-8
- 54. Ишмуратов Г.Ю., Выдрина В.А., Галкина Ю.А., Яковлева М.П., Муслухов Р.Р., Сабиров Д.Ш., Кравченко Л.В., Толстиков А.Г. ЖОрХ. 2015, 51, 1199–1201. [Ishmuratov G.Yu., Vydrina V.A., Galkina Yu.A., Yakovleva M.P., Sabirov D.Sh., Muslukhov R.R., Kravchenko L.V., Tolstikov A.G. Russ. J. Org. Chem. 2015, 51, 1180–1182.] doi 10.1134/S1070428015080205
- Marell D.J., Emond S.J., Kulshrestha A., Hoye T.R. J. Org. Chem. 2014, 79, 752. doi 10.1021/jo402627s
- ЖУРНАЛ ОРГАНИЧЕСКОЙ ХИМИИ том 59 № 6 2023

- 56. Выдрина В.А., Кравченко А.А., Сатараев Д.А., Саяхов Р.Р., Яковлева М.П., Толстиков А.Г., Ишмуратов Г.Ю. *ЖОрХ.* **2020**, *56*, 248–252. [Vydrina V.A., Kravchenko A.A., Sataraev D.A., Sayakhov R.R., Yakovleva M.P., Tolstikov A.G., Ishmuratov G.Y. *Russ. J. Org. Chem.* **2020**, *56*, 251–251.] doi 10.1134/s1070428020020116
- 57. Яковлева М.П., Выдрина В.А., Ишмуратов Г.Ю. ЖОрХ. **2020**, *56*, 1187–1193. [Yakovleva M.P., Vydrina V.A., Ishmuratov G.Y. *Russ. J. Org. Chem.* **2020**, *56*, 1353–1358.] doi 10.1134/S1070428020080047
- 58. Ишмуратов Г.Ю., Выдрина В.А., Галкина Ю.А., Яковлева М.П., Кравченко А.А., Муслухов Р.Р., Толстиков А.Г. ЖОрХ. 2015, 51, 967–970. [Ishmuratov G.Yu., Vydrina V.A., Galkina Yu.A., Yakovleva M.P., Kravchenko A.A., Muslukhov R.R., Tolstikov A.G. Russ. J. Org. Chem. 2015, 51, 947–950.] doi 10.1134/S1070428015070106
- 59. Яковлева М.П., Выдрина В.А., Саяхов Р.Р., Ишмуратов Г.Ю. *Бутлеров. сообщ.* **2020**, *61*, 24–28. doi 10.37952/ROI-jbc-01/20-61-2-24

Conversions of Seven-Membered Terpene Lactones towards Low-Molecular Bioregulators

V. A. Vydrina, M. P. Yakovleva*, and G. Yu. Ishmuratov

Ufa Institute of Chemistry – Subdivision of the Ufa Federal Research Centre of the Russian Academy of Sciences, prosp. Oktyabrya, 71, Ufa, 450054 Russia
*e-mail: insect@anrb.ru

Received July 25, 2022; revised August 11, 2022; accepted August 12, 2022

The review describes the low-temperature reduction of (–)-mentholactone with diisobutylaluminum hydride in methylene chloride studied by the authors. It was found that, depending on the reaction conditions, it proceeds with the formation of three products: 7*S*-isopropyl-4*R*-methyloxepan-2*S*-ol [(–)-mentholactol], 8-hydroxy-2,6*R*-dimethyloctan-3-one or 2*S*-isobutoxy-7*S*-isopropyl-4*R*-methyloxepane, for each of which the probable routes are given and the conditions for selective formation are selected. A new reaction in the chemistry of organoaluminum compounds has been discovered - the formation of isobutyl acetals of 2-oxepanols during low-temperature (–70°C) reduction of 7-membered lactones with two-fold or more molar amounts of diisobutylaluminum hydride in methylene chloride. On the basis of (–)-mentholactol, its aluminate, and 8-hydroxy-2,6R-dimethyloctan-3-one, a number of low molecular weight bioregulators, including optically active pheromones of insect pests in agriculture and forestry, have been synthesized.

Keywords: terpene seven-membered lactones, low-temperature hydride reduction, low molecular weight bioregulators, synthesis